

УДК: 903.4'12(477.87)''6323''

*Л. В. Кулаковська, Н. П. Герасименко,  
В. І. Усик, О. Л. Вотякова*

## СЕРЕДНЬОПАЛЕОЛІТИЧНА СТОЯНКА РУБАНЬ У ЗАКАРПАТТІ: СТРАТИГРАФІЯ, ХРОНОЛОГІЯ, ІНДУСТРІЯ

*У статті йдеться про середньопалеолітичну стоянку Рубань у Закарпатті, стратиграфічні умови залягання археологічного шару, його вік та індустрію.*

**Ключові слова:** Рубань, середній палеоліт, стратиграфія, типологія, тип Кіна.

Палеолітична Стоянка Рубань була відкрита у 2005 р. Закарпатською палеолітичною експедицією Археологічного музею ІА НАНУ. Вона розташована на території кар'єру колишнього Затисянського хімзаводу, за 800 м на північ від східної околиці с. Горбки Виноградівського р-ну Закарпатської області в урочищі Рубань та на відстані приблизно 2 км на південний схід від стоянки Королево (рис. 1).

Дослідження пам'ятки проводилися у 2005—2008 рр. За цей час загалом відкрито 136 м<sup>2</sup> площі.

На момент відкриття місцезнаходження земляними роботами кар'єру була знята верхня частина відкладів, у зв'язку з чим археологічний шар залягав на глибині від 20 до 50 см (в залежності від «падіння» геологічних горизонтів по схилу). Усі ці обставини унеможливили чітко визначити геологічну позицію шару та його вік. Попередньо була навіть запропонована гіпотеза про приналежність цього шару до MIS 6 (Kulakovska, Usik 2011, p. 134).

### СТРАТИГРАФІЯ

З метою встановлення стратиграфічного положення культурного шару на стоянці Рубань необхідно було провести геологічне вивчення четвертинних відкладів вздовж всієї стінки

© Л. В. КУЛАКОВСЬКА, Н. П. ГЕРАСИМЕНКО,  
В. І. УСИК, О. Л. ВОТЯКОВА, 2018

кар'єру та кореляцію з позицією шару у розкопі. З цією метою у 2016—2017 рр. було поставлено 15 геологічних розчинок (рис. 2), що і дало змогу чітко визначити характер відкладів зі знахідками.

Стінка кар'єру проходить вздовж давнього схилу до балки, на якому давніші червоноколірні відклади вниз за схилом поступово зрізуються молодшими (рис. 3). Стратиграфічне розчленування ускладнюється тим, що у напрямку вниз за схилом верхня частина стінки кар'єру (голоценові та верхньоплейстоценові відклади) зрізана розробками кар'єру та руйнується природними схилувими процесами. Загалом потужності ґрунтів скорочені за рахунок накладання одного педогенного процесу на матеріал попереднього ґрунту, або через розмиви на схилі.

Зупинимося докладніше на описах кількох розчинок, які презентують повну картину послідовності відкладів на пам'ятці.

Інтерпретацію генези відкладів, найдетальніший опис і варіанти кореляції подаємо на прикладі найглибшої розчистки 7, яка закладена у середній частині кар'єру з відслоненнями червоноколірних відкладів.

**Розчистка 7** (рис. 4).

0,0—0,03 м — h1 — гумусовий горизонт сучасного ґрунту, частково зрізаний у ході експлуатації кар'єру;

0,03—0,10 м — h1 (bg) — елювіюваний (E) горизонт сучасного ґрунту, сформований на матеріалі бузького лесу (bg) — попелясто-сірий, пухкий, середньосуглинковий, із клиновидними структурами, що відходять від його нижньої межі. Останні є свідченнями криогенних процесів, властивих холодному бузькому етапу, і є доказом, що голоценове ґрунтоутворення роз-



Рис. 1. Вид з космосу на стоянки: Королево, Королево II, Рубань

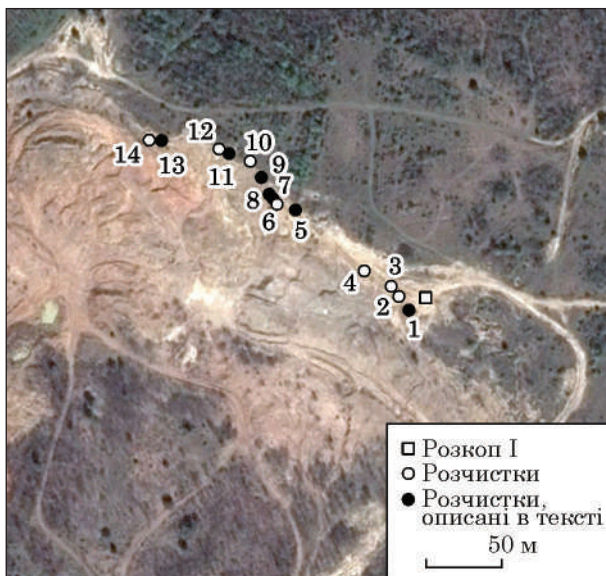


Рис. 2. Вид з космосу: Рубань, зачистки

вивалося по матеріалу верхньоплейстоценових відкладів;

0,10—0,35 м — hl (vt) — елювіовано-ілювіюваний (IE) горизонт сучасного ґрунту, сформований на матеріалі витачівського кліматоліту — світло-бурий із світло-сірими плямами і клинами, що проникають із верхнього горизонту, зумовлюючи неоднорідне плямисте, загалом світле забарвлення, ущільнений, важкосуглинковий, із дрібними призмками і конкреціями гідроксидів марганцю, перехід донизу помітний за різким збільшенням кількості конкрецій. Ознаками формування цього ґрунту на давнішому верхньоплейстоценовому матеріалі є виразна криогенна плитчаста текстура;

0,35—0,45 м —  $p1_{zc}$  — ініціальна фаза ґрунтоутворення заключної стадії прилуцького педогенезу, під час формування відкладів якої, завдяки різким змінам гідротермічного режиму, відбулося надзвичайне збагачення шару дрібними залізо-марганцевими конкреціями («дробовинами»). Лише окремі конкреції досягають розміру понад 1 см. Матеріал світло-бурий, пронизаний сизими тріщинами, важкосуглинковий, ущільнений, перехід донизу за зменшенням кількості конкрецій. У розрізі Королево-Гострий Верх цей прошарок віднесений до верхів верхньоприлуцького ґрунту (Адаменко, Гродецькая 1987), а П. Езартсом (Haesaerts, Koulakovska 2006) — до холодної фази на переході від педокомплексу — аналогу 5 МІС до холодної фази — аналогу 4 МІС;

0,45—0,80 м —  $p1_{zb}$  — бурий лісовий ґрунт — забарвлення подібне до перекривних ґрунтів, але більш однорідне буре, важкосуглинковий, ущільнений, призматичний, проте без чітко вражених колоїдних плівок на гранях структурних окремоостей (процеси оглинення *in situ*), із окремими дрібними залізо-марганцевими призмками і конкреціями, перехід до низу помітний. Можемо попередньо корелювати цей ґрунт із підстадією МІС 5a (Rousseau et al. 2001);

0,80—1,20 м —  $p1_1$  — темно-бурий лісовий ґрунт, коричнювато-бурого забарвлення, важкосуглинковий, дуже щільний, із чіткою горихувато-призматичною структурою, із дрібними залізо-марганцевими конкреціями та із великою кількістю широких вертикальних патчків гідроксидів марганцю чорного кольору (у верхній частині довжиною до 10 см, у нижній — до 15—20 см). Розбитий тріщинними





Рис. 3. Вид на стоянку Рубань з південного заходу

структурами нової генерації, вивоненими сизим матеріалом, у верхній частині шириною до 15 см. Ґрунт має вторинну криогенну плитчасту текстуру. Це свідчить про існування фази криогенезу між часом формування ґрунтів  $pl_3$  і  $pl_1$ , а саме стадіалу  $pl_2$  — еквіваленту МІС 5b. Сам же ґрунт  $pl_1$  корелюють із МІС 5c (Rousseau et al. 2001);

1,20—1,65 м — kd — бурий лісовий ґрунт теплих фацій, найяскравішого помаранчево-бурого забарвлення, дуже щільний, важкосуглинковий, із прекрасно вираженою горіхувато-призматичною структурою, із глянцевими червонуватими плівками колоїдів на гранях структурних окремоостей, без значної кількості новоутворень, що свідчить про стабільний гідротермічний режим. Перехід униз поступовий. Таким чином, у цьому розрізі, як і у розрізі Королево-Гострий Верх (Haesaerts, Koulakovska 2006), простежуються три ілювіювані горизонти (Bt) лісових ґрунтів, із яких нижній, кайдацький, зіставляється із МІС 5e;

1,65—1,92 м — zv — жовто-бурий лісовий ґрунт теплих фацій, відрізняється від покривного світлішим жовтувато-бурим забарвленням і неоднорідністю його у зв'язку із появою виразних тріщин до гл. 1,80 м, вивонених блакитно-сизим матеріалом (вірогідно криогенез дніпровського етапу). Важкосуглинковий до легкоглинистого, щільний, призматичний, із жовтими глянцевими плівками колоїдів за гранями структурних окремоостей; перехід донизу різкий, ерозійний, підкреслений горизонтальною тонкою верствою. Жовто-бурі ґрунти у розрізі Королево-Гострий Верх корелюють (Haesaerts, Koulakovska 2006) із ґрунтами 7—11 стадій, хоча можливо у розрізі Рубань представлено лише ґрунт 7 стадії, що зрізає підстельні верстви. Будова вищеприписаного розрізу

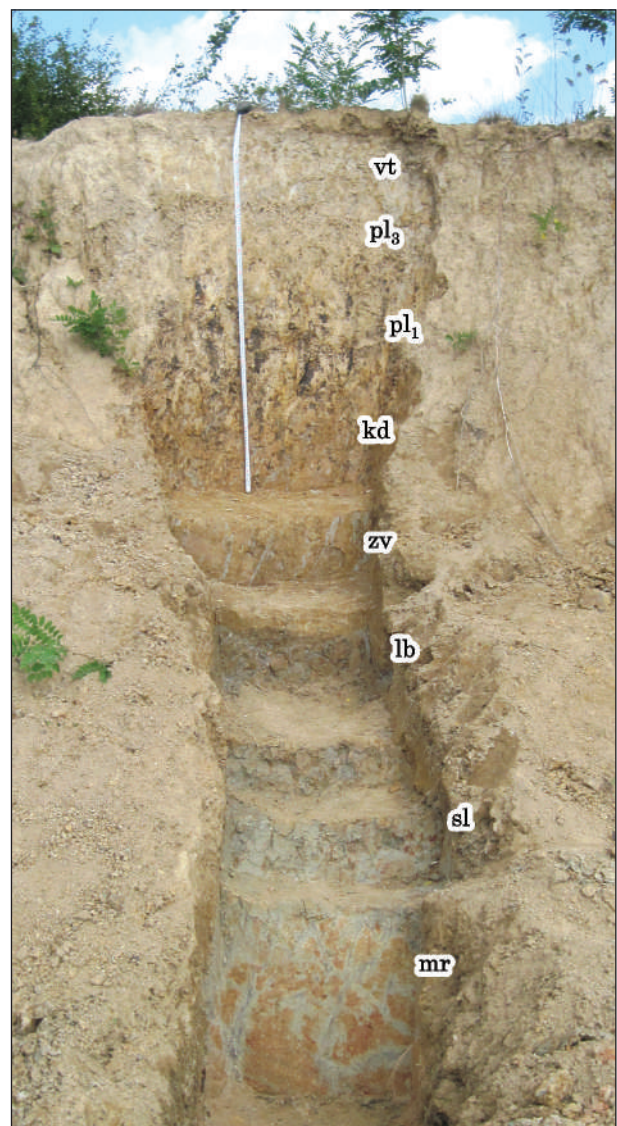


Рис. 4. Рубань, розчистка 7



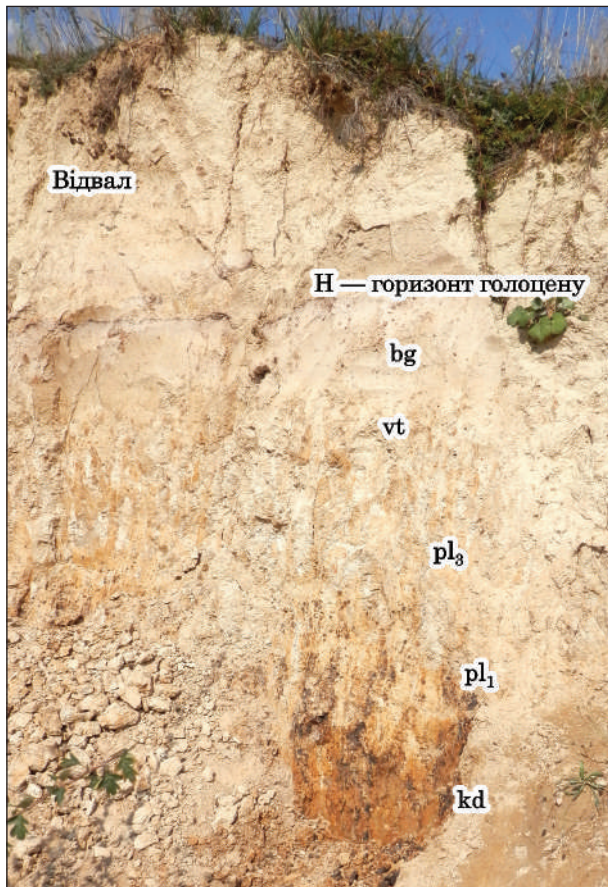


Рис. 5. Рубань, розчистка 11

подібна до такої іншого розрізу Закарпаття — стоянки Сокирниця I (Герасименко 2006);

1,92—2,15 м — lb + sl — схиліві відклади фази ерозійного врізання лубенського часу, представлені грудками бурувато-коричневого ґрунтового матеріалу, темнішого за покривний, і сизого суглинку сульського часу. Складений оглеєною глиною, нижня межа різка, ерозійна, нахилена вниз за давнім схилом;

2,15—2,45 м — sl — блакитно-сизий, легкоглинистий, в'язкий, крупнопризматичний, із рідкими плямами червонувато-бурого кольору — делювіальний суглинок, сформований із частковим перевідкладенням підстельного ґрунту, перехід донизу чіткий, тріщинний (кріогенний);

2,45—2,95 — mr — червонувато-бурий ґрунт, яскравого червоно-бурого кольору, піщаний важкий суглинок (піщаниста глина?), розбита на блоки (на усю видиму потужність) вертикальними та косо нахиленими тріщинами, виповненими сизим покривним матеріалом, який, на відміну від запіщаненого шорсткого ґрунтового матеріалу, є в'язким. У середині кожної тріщини (шириною до 10 см) простежується тонка гумусова жилка, що свідчить про закладання структур як первинно-ґрунтових жил. Характерною рисою мартоноського кліматоліту, що відрізняє його від всієї покривної товщі, є наявність карбонатів у вигляді пунктуації.

На другій ступені кар'єру відслонюється червоноколірний піщано-глинистий алювій із включенням гальки та гравію, тобто — відслонення верхньої частини кар'єру розташовані на мартоносько-сульській, VII терасі.

Будова розрізу вказує на розвиток ерозійних процесів на схилі, починаючи із лубенського етапу. Також мали місце врізи завадівського, кайдацького, витачівського етапів (відсутність добре виражених тилігульського, дніпровського, удайського кліматолітів) і скорочення розрізу бузького та витачівського кліматолітів. Подібну картину, проте із деякими відмінностями, можна простежити у інших розчистках кар'єру.

Зокрема, у вищих частинах давнього схилу меншим є зріз бузького і витачівського кліматолітів, а місцями — повніша будова розрізу загалом.

**Розчистка 11** розташована у найвищій частині кар'єру (рис. 5). У ній первинна денна поверхня, фіксована тонким шаром еродованого гумусового горизонту, знаходиться на глибині 1,40 м під відвалами кар'єру, складеними знятим матеріалом голоценових ґрунтів (переважно елювіюваним горизонтом лесовидного габітусу). Нижче будова відкладів наступна:

0,0—0,40 м — h1 — білястий пухкий E горизонт голоцену (вторинно елювіюваний бузький лес);

0,40—0,80 м — світло-бурий ущільнений I горизонт голоцену (вторинно ілювіюваний витачівський ґрунт), розбитий на всю потужність жилами, виповненими матеріалом E горизонту (кріогенез бузького часу);

0,80—0,90 м — ud — лесовидний суглинок, середній, безструктурний, із окремими залізисто-марганцевими конкреціями, із досить чіткими нерівними (тріщинними) межами;

0,90—1,20 м — pl<sub>3</sub> — рівень дрібних залізисто-марганцевих конкрецій, що перетинається широкими жилами, виповненими світлим лесоподібним матеріалом удайського кліматоліту;

1,20—1,60 м — pl<sub>1</sub> — бурий ґрунт із чорними марганцевими патьоками на всю його потужність, із залізисто-марганцевими конкреціями, розбитий на блоки жилами удайського кріогенезу, виповненими лесом. Нижня границя чітка, місцями порушується тими ж тріщинними структурами;

1,60—2,0 м — kd — бурий лісовий ґрунт теплих фацій, яскравого бурого забарвлення, дуже щільний, горіхувато-призматичний, із помаранчево-червонуватими плівками колоїдів заліза за гранями структурних окремоствей. У його верхню частину заходять марганцеві патьокі.

Таким чином, верхноплейстоценова частина розрізу тут краще збережена, ніж нижче за схилом (розчистка 7), головню за рахунок краще виражених бузького і витачівського кліматолітів.



**Розчистка 13** розташована дещо нижче за схилом (рис. 6). Тут зберігся профіль сучасного ґрунту наступної будови:

0,0—0,40 м — hl — гумусово-елювійований (He) горизонт коричнево-сірого забарвлення, легкосуглинковий, пухкий, нижня межа поступова;

0,40—0,50 м — hl (bg) — елювійований (E) горизонт, білясто-сірий, середньосуглинковий, неущільнений, перехід вниз чіткий, нерівний — за тріщинами, виповненими його матеріалом;

0,50—0,80 м — hl (vt) — ілювійовано-елювійований (IE) горизонт світло-бурий, ущільнений, важкосуглинковий, розбитий на всю потужність жилами світлого матеріалу, розширеними у верхній частині, далі шириною до 5—7 см, перехід донизу поступовий;

0,80—0,85 м — ud — лесовидний суглинок, важкосуглинковий, безструктурний, із поступовими межами;

0,85—1,0 м — pl<sub>3c</sub> — прошарок із густими дрібними залізисто-марганцевими конкреціями, перехід донизу поступовий;

1,0—1,60 — pl<sub>3b</sub> — бурий лісовий ґрунт із такими генетичними горизонтами: Н (1,0—1,25 м) світло-коричнювато-бурого забарвлення, важкосуглинковий, призматичний, розбитий ґрунтовими жилами іншої генерації, ніж у витачівському ґрунті, які відкриваються під подошвою прошарку pl<sub>3c</sub>, себто виповнені сизим неґрунтовим матеріалом стадіалу pl<sub>2</sub>. Містить незначну кількість залізисто-марганцевих конкрецій; ІН (1,25—1,60 м) яскраво-бурий, із помаранчевими відтінками забарвлення, важкосуглинковий, із міцною горіхувато-призматичною структурою, із поодинокими дрібними марганцевими конкреціями та вузькими сіро-корірними жилами;

1,60—1,80 м — pl<sub>1</sub> (?) — другий горизонт надзвичайного збагачення залізисто-марганцевими конкреціями (розміром до 1 см) ґрунтового матеріалу бурувато-коричневого кольору, важкосуглинкового, щільного, розбитого жилами, виповненими бурим матеріалом перекривного ґрунту (заповнив відкриті тріщини, що можливо сформувалися у стадіал pl<sub>3</sub>).

З іншого боку, у розрізі Королево-Гострий Верх другий горизонт накопичення залізисто-марганцевих конкрецій віднесено до переходу від ґрунту, еквівалентного 7 МІС, до холодного дніпровського етапу (Haesaerts, Koulikovska 2006). Можна припустити варіант, що яскраво-бурий І горизонт ґрунту pl<sub>3b</sub> є редукованим кайдацьким ґрунтом, а ґрунт pl<sub>1</sub> (?) — представляє верхи потягайлівського горизонту. Цей варіант залишається валідним для другого рівня залізисто-марганцевих конкрецій і в інших розчистках;

1,80—2,0 м — kd (zv?) — бурий лісовий ґрунт теплих фацій, із жовтими відтінками забарвлення, призматичний, важко-суглинковий до

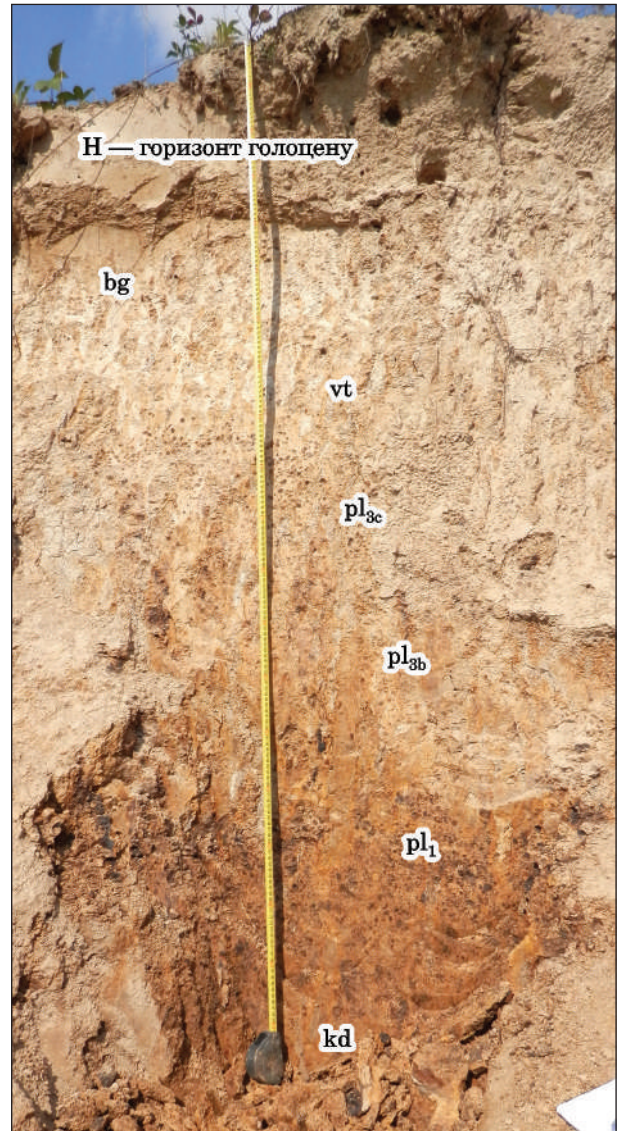


Рис. 6. Рубань, розчистка 13

легкоглинистого, щільний, із жилами, виповненими блакитно-сизим матеріалом, примазки гідроксидів марганцю поодинокі.

**Розчистки 9 і 8**, мають глибину 1,35 і 1,45 м (відповідно), а за характеристиками кліматолітів, подібні до описаних у попередніх розчистках. Проте в обох із названих розчисток горизонт He голоценового ґрунту є частково зрізаним, E горизонт заходить на гл. 0,4—0,5 м, а верхній горизонт залізисто-марганцевих конкрецій залягає у розчистці 9 в інтервалі 0,80—1,0 м, у розчистці 8 — в інтервалі 0,60—0,80 м, тобто потужність витачівського кліматоліту зменшується у розрізах, розташованих нижче за схилом. У розчистці 9 ґрунт pl<sub>1</sub> із марганцевими патьоками та вторинною криогенною плитчатістю досягає гл. 1,25 м і підстиляється кайдацьким бурим лісовим ґрунтом теплих фацій яскраво-бурого забарвлення, не розкритим розчисткою на всю потужність. У розчистці 8, найближчій до основної розчистки 7, будова розрізу є найподібнішою до неї. Ґрунт pl<sub>1</sub> заля-



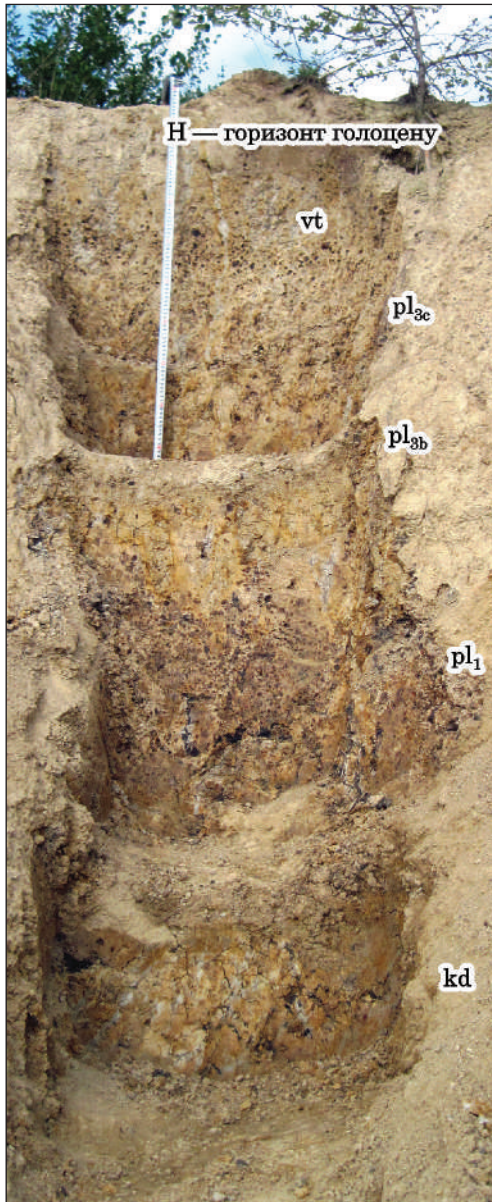


Рис. 7. Рубань, розчистка 5

гає в інтервалі 1,0—1,35 м, а між ним і верхнім шаром Fe—Mn конкрецій, як і в розчистці 7, є бурий лісовий ґрунт  $pl_{3b}$ .

**Розчистка 5** (рис. 7). Розташована дещо нижче за схилом від розчистки 7, і гумусовий та елювійований (трансформований *bg* лес) горизонти сучасного ґрунту тут повністю зденудовані. Відслонюється наступний розріз:

0,0—0,2 м —  $hl$  (трансформований *vt* кліматоліт) I горизонт сучасного ґрунту — світло-бурий, із сизими плямами, важко-суглинковий, ущільнений, із рідкими «дробинками» та пунктацією Fe—Mn гідоксидів, перехід до низу за появою густих залізисто-марганцевих конкрецій;

0,2—0,3 м —  $pl_{3c}$  — перехідний горизонт, надзвичайно збагачений залізисто-марганцевими конкреціями. Конкреції тут крупніші, ніж у вищих частинах схилу (до 2 см у діаметрі), що

пов'язано із більшим надходженням сполук заліза та марганцю у нижчі гіпсометричні позиції. Плямами простежується лесовий матеріал (*ud*?), на контакті із яким і формувалися конкреції. Межі чіткі, нерівні;

0,3—0,8 м —  $pl_{3b}$  — бурий лісовий ґрунт із генетичними горизонтами Н (0,3—0,4 м) та І (0,4—0,8 м). Н горизонт має світло-коричневе забарвлення, містить залізисто-марганцеві конкреції (у значно меншій кількості, ніж перекривний шар), перетинається вузькими довгими жилами, виповненими блакитно-сизим матеріалом, що заходять на всю глибину горизонту, нижня межа помітна; І горизонт є щільним, важкосуглинковим, бурого забарвлення, що є яскравішим, ніж у цьому ж ґрунті у розчистці 7; кількість марганцевих конкрецій різко зменшується у порівнянні із покривними шарами, перехід вниз чіткий, нерівний, за широкими (до 15 см у гирловій частині) тріщинами, виповненими яскраво-бурим матеріалом, що розсікають ґрунт  $pl_1$ . Як зазначалося вище, вони свідчать про існування фази кріогенезу  $pl_2$ .

0,8—1,25 м —  $pl_1$  — темно-бурий ґрунт: коричневий, важкосуглинковий, щільний, містить багато залізисто-марганцевих конкрецій (проте менше, ніж у верхньому конкреційному горизонті), на всю товщу розбитий жилами, виповненими яскраво-бурим матеріалом ґрунту  $pl_3$  і сизим глейовим матеріалом, до гл. 0,95 м простежується вторинна кріогенна плитчатість, із гл. 0,95 м починаються патьоки гідроксидів марганцю (менш виразні, ніж у розчистці 7), перехід донизу поступовий;

1,25—1,55 м — *kd* — бурий лісовий ґрунт теплих фацій (його I горизонт, верхня частина профілю перероблена прилуцьким ґрунтоутворенням), яскраво-бурий із помаранчевим відтінком та із мрамуроподібністю забарвлення (містить мережу тонких сизих жил, зокрема, горизонтально спрямованих), щільний, горіхувато-призматичний, із червонуватими колоїдними плівками за гранями окремоостей, із пунктацією гідроксидами марганцю, перехід униз поступовий;

1,55—1,85 м — *zv* — жовто-бурий лісовий ґрунт, дуже яскравого жовто-бурого забарвлення, але без червоних колоїдних плівок за гранями окремоостей, важкосуглинковий до легкоглинистого, розбитий субвертикальними жилами, виповненими сизим неґрунтовым матеріалом, щільний, кількість марганцевої пунктації різко зменшується, перехід униз помітний;

1,85—2,10 м — *lb* (?) — коричневатобурий ґрунт — темніший за забарвленням від завадівського, із сизими плямами оглеєння, легкоглинистий, в'язкий, призматичний.

**Розчистка 1** (рис. 8).

0,0—0,2 м —  $hl$  — Не горизонт голоценового ґрунту, коричневатосірий, легкосуглинковий, пухкий, перехід донизу чіткий;

0,0—0,3 м —  $h_1$  (vt) — I (ілювіований) горизонт голоценового ґрунту, сформований на матеріалі витачівського ґрунту, бурий, середньосуглинковий, ущільнений, перетинається жилами сизого неґрунтового матеріалу, перехід донизу чіткий за появою конкрецій;

0,3—0,4 м —  $p_{1_{3c}}$  — рівень густо розташованих дрібних залізисто-марганцевих конкрецій, проте деякі з них досягають 2 см в діаметрі;

0,4—1,25 м —  $p_{1_{3b}}$  — бурий лісовий ґрунт із такими генетичними горизонтами: H (0,4—0,8 м) — бурувато-коричневий, важкосуглинковий, ущільнений, із незначною кількістю марганцевих примазок і «дробовинок», перетинається досить широкими тріщинами, вивоненими сизим матеріалом (ud), які відкриваються від поверхні ґрунту; перехід вниз поступовий; I (0,8—1,25 м) — світло-бурий, важкосуглинковий, щільний, із глейовими плямами та примазками гідроксидів марганцю, із плитчастою посткріогенною текстурою, підкресленою горизонтальними плівками гідроксидів марганцю, перехід вниз чіткий;

1,25—1,50 м —  $p_1$  — темно-бурий лісовий ґрунт, бурувато-коричневий, важкосуглинковий, щільний, горіхувато-призматичний; в інтервалі 1,25—1,40 м — густі залізисто-марганцеві конкреції (дещо більшими за розмірами, ніж у верхньому конкреційному шарі), в інтервалі 1,40—1,50 м — патьоки гідроксидів марганцю; із тонкими звивистими жилками, вивоненими сизим матеріалом; перехід вниз різкий, нерівний, ерозійний;

1,50—1,80 м — kd — бурий лісовий ґрунт теплих фацій, яскраво-бурого забарвлення, важкосуглинковий, щільний, горіхувато-призматичний, із колоїдними плівками за гранями окремостей та із глейовими плямами.

#### Розчистка 1А (рис. 9: 2).

0,0—0,18 м — vt — нижня частина еродованого ґрунту, бурого, важкосуглинкового, ущільненого, із жилами, вивоненими пухким світло-сизим матеріалом. Інші розрізи кар'єру продемонстрували, що це є матеріал бузького горизонту, трансформований елювіально-глейовими процесами голоценового ґрунтоутворення. Перехід вниз за появою залізисто-марганцевих новоутворень;

0,18—0,30 м —  $p_{1_{3c}}$  — верхній перехідний горизонт заключної стадії ґрунтоутворення, вивонений величезною кількістю залізисто-марганцевих конкрецій, особливо в інтервалі 0,18—0,25 м;

0,30—0,85 м —  $p_{1_{3b}}$  — бурий лісовий ґрунт, бурого, але неоднорідного забарвлення, розчленований блакитно-сизими вертикальними жилами, що починаються у конкреційному горизонті, в інтервалі 0,30—0,55 м темніший (H горизонт), до низу — освітлений; важкосуглинковий, щільний, із призматичною структурою, має плитчасту посткріогенну текстуру, підкреслену марганцевими плівками (товщина



Рис. 8. Рубань, розчистка 1

плитки 1 см), а також містить незначну кількість марганцевих конкрецій, нижня межа чітка, дуже нерівна, із тріщинами-карманами глибиною до 15 см;

0,85—1,0 м —  $p_1$  — еродований темно-бурий ґрунт — коричневий, важкосуглинковий, горіхувато-призматичний, вивонений залізисто-марганцевими конкреціями, із невиразними патьоками марганцю, перехід униз чіткий;

1,0—1,65 м — kd — бурий лісовий ґрунт теплих фацій, яскраво-бурий, із червонувато-бурими відтінками забарвлення, дуже щільний,



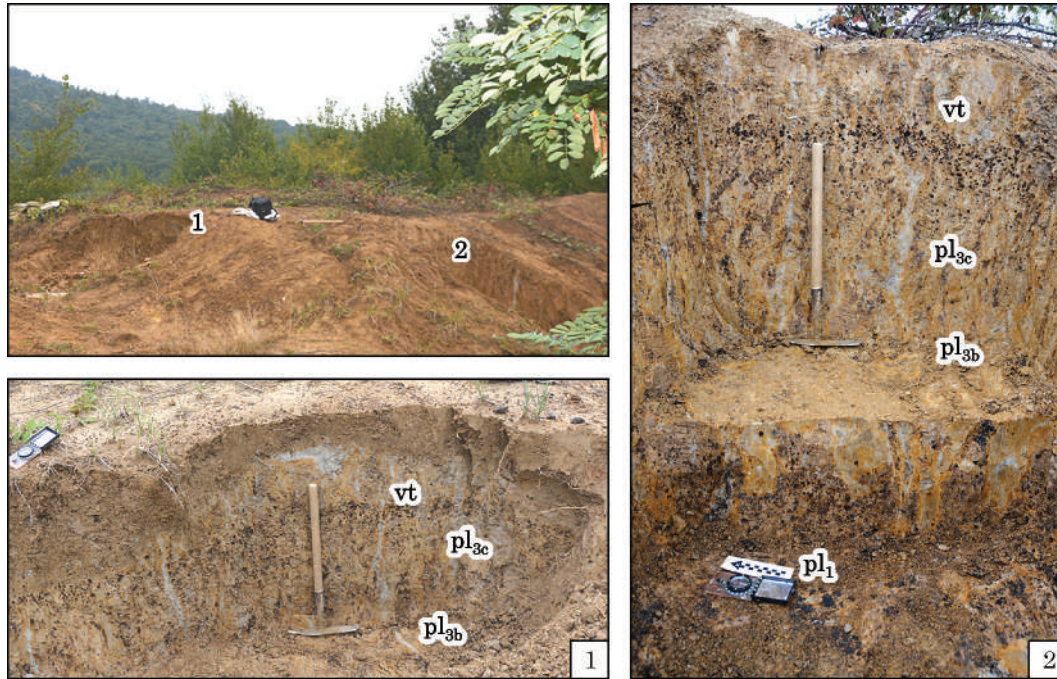


Рис. 9. Рубань, розчистки: 1 — 1Б; 2 — 1А

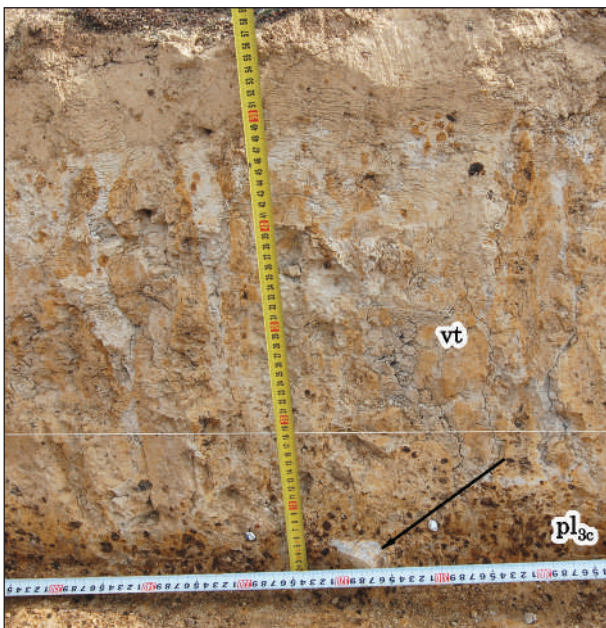


Рис. 10. Рубань, розкоп 1, стратиграфія південної стінки

призматичний, із колоїдними плівками на гранях, із покривного ґрунту заходять патьоки чорних гідроксидів марганцю (до гл. 1,30 м) і жили, виповнені сизим неґрунтовим матеріалом, вторинно криогенно плитчастий.

**Розчистка 1Б**, розкоп біля місцезнаходження артефактів (рис. 9: 1).

0,0—0,3 м — vt — низи ілювіюваного горизонту ґрунту. Ознаки ілювіальних процесів, як

видно із будови інших розчисток, пов'язані також із голоценовим ґрунтоутворенням. На фото розрізу 2016 р. видно елювіювано-гумусовий горизонт голоценового ґрунту коричневого забарвлення і лінзи елювіюваного горизонту світло-сизого забарвлення, від якого відкриваються вертикальні тріщини, виповнені цим матеріалом (доказ криогенезу бузького часу, відклади якого були змінені процесами елювіювання у голоцені);

0,3—0,5 м —  $pl_{3c}$  — горизонт залізисто-марганцевих конкрецій, досить крупних (до 2 см у діаметрі) і густо розташованих, особливо у верхній частині. Вмісний седимент є неоднорідний за забарвленням: жили світло-сизого матеріалу перетинають бурий ґрунт, перехід до низу поступовий за зниженням вмісту конкрецій;

0,5—1,2 м —  $pl_{3b}$  — бурий лісовий глейовий ґрунт, бурий із вохристими плямами, перетинається жилами сизого забарвлення, важкосуглинковий, щільний, із плівками гідроксидів марганцю, перехід униз чіткий;

1,2—1,45 м —  $pl_1$  — темно-бурий ґрунт, темніший за забарвленням від покривного, важкосуглинковий, дуже щільний, із конкреціями і плівками гідроксидів марганцю і вторинної плитчастою криогенною структурою.

**Розкоп 1** (2007 р) (рис. 10). У розкопі I чітко простежується, що культурний горизонт залягає у верхах перехідного горизонту залізисто-марганцевих конкрецій  $pl_{3c}$ . Таким чином, вік цього горизонту відповідає переходу від прилуцького до удайського етапів, тобто від MIS 5а до MIS 4, тобто 74—64 тис. років тому.



## АРХЕОЛОГІЧНА КОЛЕКЦІЯ

Як сировину переважно використовували кварцит у формі гальок (окремнілий пісковик метаморфічного походження), який має три ступені зернистості: крупнозернистий, дрібнозернистий та тонкозернистий. Незначна кількість артефактів виготовлена з чорного сланцю (аргіліту?). Трапляється андезит.

Колекція нараховує понад 900 предметів. У зібранні присутні всі категорії артефактів, ха-

рактерні для повного циклу первинної обробки сировини та виготовлення знарядь.

У первинному розколюванні переважає радіальна, перехресна та під-перехресна системи розколювання. В колекції присутні нуклеуси Комбева, а також ортогональні, поздовжні та біпоздовжні (?) (рис. 11). Найчастіше заготовками для нуклеусів слугували гальки, зрідка — фрагменти галькової сировини та відщепи. Більшість ударних площадок на нуклеусах вкриті кіркою, підправлені одним—двома знаттями — поодинокі.

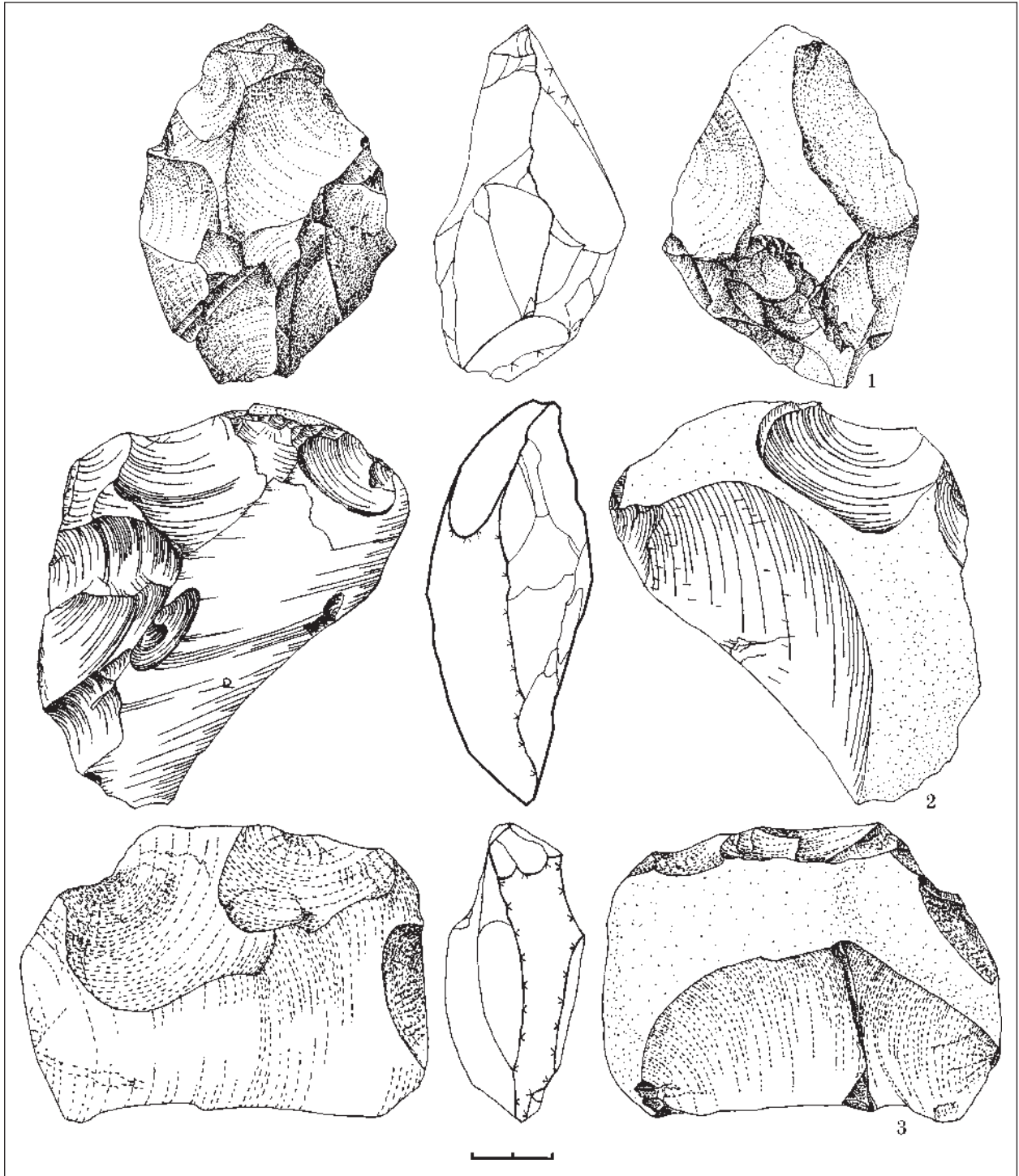
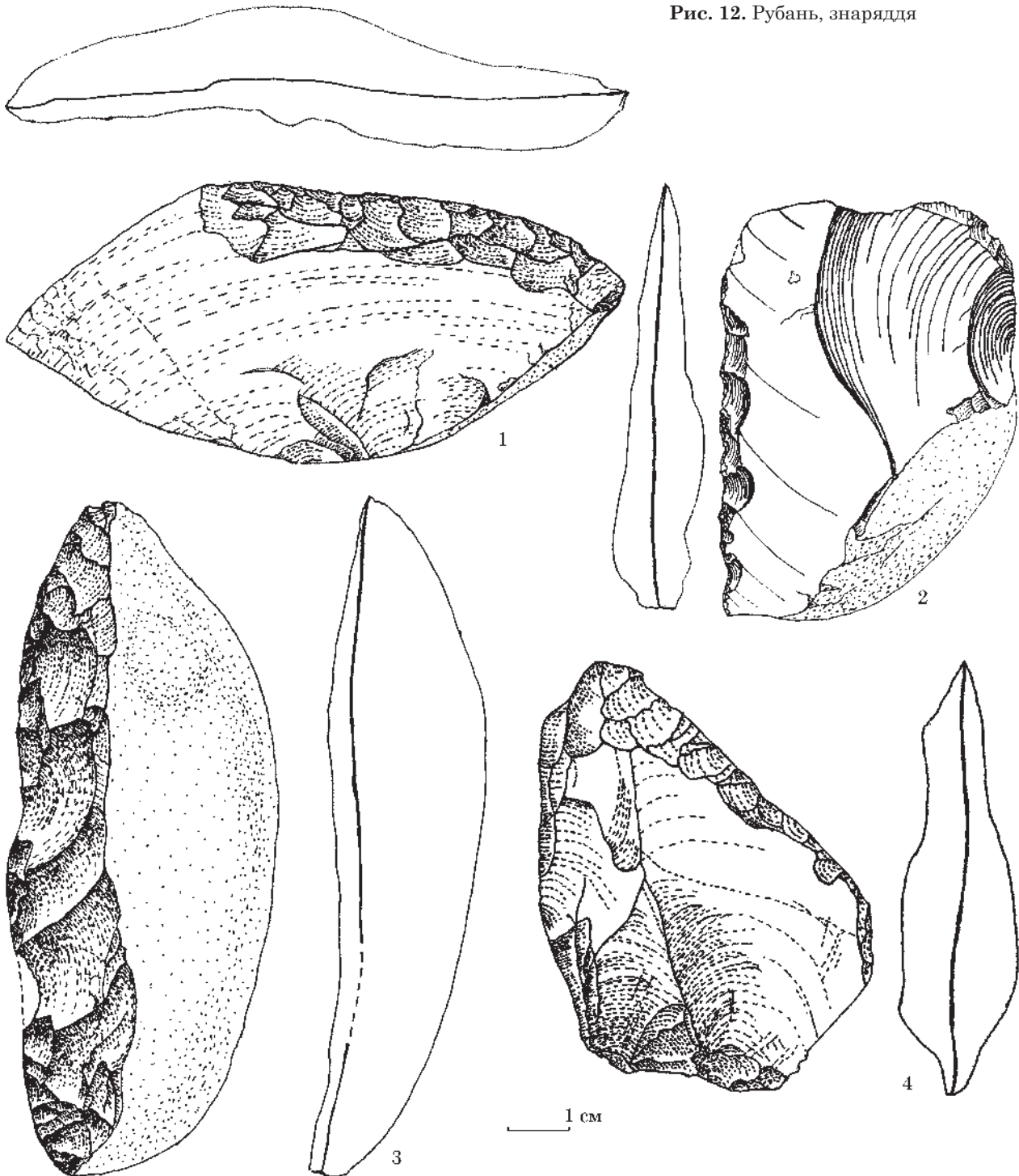


Рис. 11. Рубань, нуклеуси: 1 — радіальний; 2—3 — на відщепках

Рис. 12. Рубань, знаряддя



Більша частина відколів представлена відщепами. Незначна кількість пластин та їх морфологія вказує на те, що їх походження не має ознак цілеспрямованого виробництва. Серед відщепів досить поширені укорочені відщепи, ширина яких перевищує довжину. Зазвичай вони мають довгу та широкую площадку, вкриту кіркою. Слід відмітити, що підправлені (двогранні, багатогранні, фасетовані) площадки не характерні для цієї індустрії.

Відзначимо, що в індустрії стоянки Рубань відсутні будь які технологічні риси вико-

ристання методу левалуа. Натомість в первинному розколюванні превалюють нелевалуазські методи отримання заготовок в доцентровому, перехресному, підперехресному напрямках, а також метод Комбева (Усик 2003, с. 170—186; Вотякова 2015, с. 24). Паралельний принцип поздовжнього та поперечного розколювання носить досить випадковий характер. Пластинчастий компонент практично відсутній. Іноді в технологічному процесі присутня практика підправки відбивних площадок та тильної сторони нуклеусів досить широкими негативами.





Рис. 13. Карта стоянок Закарпаття

**Вторинна обробка.** Більшість знарядь оформлялась лускуватою, часто ступінчастою ретушшю типу Кіна чи напів-Кіна. Зустрічається зубчаста обробка робочого краю.

## ТИПОЛОГІЯ

Типологічний набір складають, переважно, скребла (рис. 12). Відмічена невелика кількість знарядь зубчато-виїмчастої групи та відщепи з ретушшю. Серед скребел поздовжні, поперечні та діагональні опуклі представлені виразними серіями. Найчастіше вони виготовлені на досить масивних первинних та напів-первинних коротких відщепах. Здебільшого ці знаряддя мають спинку (протилежний робочій частині) край. Найчастіше такою є ударна площа відколу або край нуклеуса.

Яскравою серією репрезентовані скребла з високим робочим краєм, оформленим ступінчастою лускуватою ретушшю, нанесеною у 2—3 ряди (ретуш типу Кіна), та спинкою, яка має залишки кірки. Такі зразки можна віднести до специфічного типу скребела типу Кіна чи напів-Кіна. В колекції звертає на себе увагу скребло кутове, робочі краї якого оформлені також ретушшю Кіна. На вентральній стороні відмічено потоншення типу Комбева.

Зубчасті та виїмчасті знаряддя поодинокі.

Дані техніко-типологічного аналізу збірки стоянки Рубань дозволяють відносити її до кола нелевалуазьких, не пластинчастих та нефасетованих середньопалеолітичних індустрій. У типології спостерігається абсолютне домінування скребел, робочий край яких найчастіше оформлений лускуватою ступінчастою ретушшю,

яка підходить під визначення ретуші «напів-Кіна» та «Кіна». Сукупність вищеназваних ознак дозволяє порівнювати цю колекцію з комплексом шару II стоянки Королево (Кулаковська, Usik 2011, р. 134, Вотякова 2017, с. 36).

Подібна індустрія відома на стоянці Малий Раковець IV (шар 2) (Sitlivyj, Ryzov 1992, р. 313; Кулаковська 2003, с. 12). Серія артефактів із місцезнаходжень в околицях с. Рокосово (Рокосово II, IV, VI) також може бути віднесена до цього кола пам'яток (Вотякова 2012, с. 27).

Таким чином, наразі у Закарпатті (рис. 13) відомо кілька пам'яток, об'єднаних спільними техніко-типологічними рисами і віднесених до одного хронологічного діапазону — MIS 5a — MIS 4.

Найбільш показовою є колекція шару II Королево, яка свого часу була визначена як «шарант типу Кіна»<sup>1</sup> (Кулаковська 2001).

У середині минулого століття Ф. Бордвиділив чотири середньопалеолітичні групи / технокомплекси, одна з яких була названа шарантською та включала два типи: тип Кіна та тип Феррасі (Bordes 1961). Шарант типу Феррасі характеризується, в першу чергу, левалуазьким методом розколювання. Більш своєрідним видається тип Кіна, якому притаманні такі риси: нелевалуазьке (дископодібне, дольове тощо) розколювання, домінування скребел у типологічному наборі, зокрема, оформлених лускуватою східчастою ретушшю (Кіна та напів-Кіна), відсутність / випадковість двобічнооформлених знарядь (Bordes 1961). З часом з'явилися нові терміни, як от атиповий шарант, східний шарант, шарант з мікокським впливом, мустье мікокського різновиду (Lumley 1971; Kozlovski 1990—91; Farizy 1995; Richter 1997; Turq 2000), додавалися нові ознаки (розколювання типу Кіна) (Bourguignon 1997) чи Tap (Geneste et al 1997). Все ж основна суть цього явища, а саме, наявність своєрідних скребел, не змінювалася. Індустрії типу Кіна, більшою мірою, характерні для палеоліту Франції, Бельгії, Італії, окремі риси можна прослідкувати у Німеччині, Угорщині, Словаччині, Польщі, на Кавказі та Близькому Сході (Ябруд) (Bourguignon 1997). У Східній Європі подібні матеріали наразі невідомі. Найбільш східним їх проявом можна вважати саме закарпатський регіон, де шарант типу Кіна існує у своєму більш спрощеному варіанті, який можна попередньо назвати *закарпатським варіантом технокомплексу шарант типу Кіна*.

Малюнки, фотографії та частково геологічні розчістки виконані О. Л. Вотяковою.

**Подяка.** Автори висловлюють подяку П. М. Васильєву за допомогу у проведенні польових досліджень.

1. Одному із авторів (Л. К.) сьогодні видається прийнятнішим термін мустье типу Кіна.

## ЛІТЕРАТУРА

Адаменко, О. М., Гродецька, Г. Д. 1987. *Антропоген Закарпаття*. Кишинев: Штиінца.

Герасименко, Н. П. 2006. Динаміка палеоекологічних обстановок на стоянці Сокириця (Закарпаття). В: Кулаковська, Л. В. (ред.). *Європейський середній палеоліт*. Київ: Шлях, с. 32-61.

Вотякова, О. Л. 2012. Техніко-типологічний аналіз індустрій Рокосовських місцезнаходжень в Закарпатті. *Донецький археологічний збірник*, 16, с. 7-28.

Вотякова, О. Л. 2015. Техніко-типологічний аналіз матеріалів шару II стоянки Королево на Закарпатті. *Археологія і давня історія України*, 3 (16), с. 22-34.

Вотякова, О. Л. 2017. Типологічна специфіка та аналіз вторинної обробки знарядь шару II стоянки Королево на Закарпатті. *Археологія і давня історія України*, 3 (24), с. 20-37.

Кулаковская, Л. В. 2001. Шарантские традиции в среднем палеолите стоянки Королево. *Карпатика*, 13, с. 7-12.

Кулаковська, Л. В. 2003. Середньопалеолітичні варіації на заході України. В: Кулаковська, Л. В. (ред.). *Варіабельність середнього палеоліту України*. Київ: Шлях, с. 10-31.

Усик, В. И. 2003. Проблемы интерпретации методов расщепления среднепалеолитического слоя II стоянки Королево (Закарпатье). *Археологический альманах*, 13, с. 170-186.

Bordes, F. 1953. Essai de classification des industries «moustériennes». *Bulletin de la Société préhistorique française*, 7—8, p. 457-466.

Bordes, F. 1961. *Typologie du Paléolithique ancien et moyen*. Bordeaux: Institut de Préhistoire de l'Université de Bordeaux.

Bourguignon, L. 1997. *Le Moustérien de type Quina-nouvelles définitions d'une entité technique*. Ph. D. Dissertation. Paris: X-Nanterre.

Farizy, C. 1995. Industries charantiennes a influences micoquiennes, l'exemple de l'Est de la France. *Paleo*, 1, p. 173-179.

Geneste, J.-M., Jaubert, J., Lenoir, M., Meignen, L., Turq, A. 1997. Approche technologique des Moustériens Charentiens du Sud-Ouest de la France et du Languedoc oriental. *Paleo*, 9, p. 101-142.

Haesaerts, P., Koulakovska, L. 2006. La sequence pedosedimentaire de Korolevo (Ukraine transcarpatique): contexte chronostratigraphique et chronologique. В: Кулаковська, Л. В. (ред.). *Європейський середній палеоліт*. Київ: Шлях, с. 21-37.

Kozłowski, J. K. 1990—91. Le Charantien d'Europe Centrale et la place de la technique Pontinienne. *Quaternaria Nova*, 1, p. 605-620.

Kulakovska, L., Usik, V. 2011. Palaeolithic of Transcarpathian region (Ukraine): chronology and cultural variability. In: Gozhik, P. F., Gerasimenko, N. P. (eds.). *The Quaternary studies in Ukraine*. Kyiv: Foliant, p. 129-140.

Lumley-Woodyear, (de) H. 1971. Le Paléolithique inférieur et moyen du Midi Méditerranéen dans son cadre géologique. *Galla Préhistoire*, II. Paris: Centre national de la recherche scientifique.

Richter, J. 1997. *Sesselfelsgrötte III. Der G-Schichten-Komplex der Sesselfelsgrötte. Zum Verständnis des Micoquien*. Saarbrücken. Quartär-Bibliothek, 7.

Rousseau, D.-D., Gerasimenko, N., Matviishina, Zh., Kukla, G. 2001. Environmental changes in the Middle Ukraine loess belt during past 130 000 years. *Quaternary International*, 56, p. 349-356.

Sitlivyj, V., Ryzov, S. 1992. The late Middle Palaeolithic of Malyj Rakovets IV in Transcarpathia. *Archaeologisches Korrespondenzblatt*, 22, p. 301-314.

Turq, A. 1989. Approche technologique et économique du faciès Moustérien de type Quina. *Société préhistorique française*, 86 (8), p. 244-256.

Turq, A. 2000. Le Moustérien de type Quina. *Paléo, supplément*, p. 310-343.

## REFERENCES

Adamenko, O. M. Grodetzkaya, G. D. 1987. *Antropogen Zakarpattia*. Kishinev: Shtiintsa.

Herasymenko, N. P. 2006. Dynamika paleoekolohichnykh obstanovok na stoiantsi Sokyrnytsia (Zakarpattia). In: Kulakovska, L. V. (ed.). *Yevropeiskyyi serednii paleolit*. Kyiv: Shliakh, s. 32-61.

Votiakova, O. L. 2012. Tekhniko-typolohichnyi analiz industrii Rokosovskyykh mistseznakhodzen v Zakarpatti. *Donetskyi arkheolohichnyi zbirnyk*, 16, s. 7-28.

Votiakova, O. L. 2015. Tekhniko-typolohichnyi analiz materialiv sharu II stoianky Korolevo na Zakarpatti. *Arkheolohiia i davnii istoriia Ukrainy*, 3 (16), s. 22-34.

Votiakova, O. L. 2017. Typolohichna spetsyfika ta analiz vtorynnoi obrobky znariad sharu II stoianky Korolevo na Zakarpatti. *Arkheolohiia i davnii istoriia Ukrainy*, 3 (24), s. 20-37.

Kulakovskaya, L. V. 2001. Sharantskiye traditsii v srednem paleolite stoyanky Korolevo. *Karpatika*, 13, s. 7-12.

Kulakovska, L. V. 2003. Serednopaleolitychni variatsii na zakhodi Ukrainy. In: Kulakovska, L. V. (ed.). *Variabelnist serednoho paleolitu Ukrainy*. Kyiv: Shlyakh, s. 10-31.

Usik, V. I. 2003. Problemy interpretatsii metodov rasshchepleniya srednepaleolitycheskogo sloya II stoyanky Korolevo (Zakarpatyie). *Arkheologicheskyyi almanakh*, 13, s. 170-186.

Bordes, F. 1953. Essai de classification des industries «moustériennes». *Bulletin de la Société préhistorique française*, 7—8, p. 457-466.

Bordes, F. 1961. *Typologie du Paléolithique ancien et moyen*. Bordeaux: Institut de Préhistoire de l'Université de Bordeaux.

Bourguignon, L. 1997. *Le Moustérien de type Quina-nouvelles définitions d'une entité technique*. Ph. D. Dissertation. Paris: X-Nanterre.

Farizy, C. 1995. Industries charantiennes a influences micoquiennes, l'exemple de l'Est de la France. *Paleo*, 1, p. 173-179.

Geneste, J.-M., Jaubert, J., Lenoir, M., Meignen, L., Turq, A. 1997. Approche technologique des Moustériens Charentiens du Sud-Ouest de la France et du Languedoc oriental. *Paleo*, 9, p. 101-142.

Haesaerts, P., Koulakovska, L. 2006. La sequence pedosedimentaire de Korolevo (Ukraine transcarpatique): contexte chronostratigraphique et chronologique. In: Kulakovska, L. V. (ed.). *Yevropeiskyyi serednii paleolit*. Kyiv: Shliakh, s. 21-37.

Kozłowski, J. K. 1990—91. Le Charantien d'Europe Centrale et la place de la technique Pontinienne. *Quaternaria Nova*, 1, p. 605-620.

Kulakovska, L., Usik, V. 2011. Palaeolithic of Transcarpathian region (Ukraine): chronology and cultural variability. In: Gozhik, P. F., Gerasimenko, N. P. (eds.). *The Quaternary studies in Ukraine*. Kyiv: Foliant, p. 129-140.

Lumley-Woodyear, (de) H. 1971. Le Paléolithique inférieur et moyen du Midi Méditerranéen dans son cadre géologique. *Galla Préhistoire*, II. Paris: Centre national de la recherche scientifique.

Richter, J. 1997. *Sesselfelsgrötte III. Der G-Schichten-Komplex der Sesselfelsgrötte. Zum Verständnis des Micoquien*. Saarbrücken. Quartär-Bibliothek, 7.

Rousseau, D.-D., Gerasimenko, N., Matviishina, Zh., Kukla, G. 2001. Environmental changes in the Middle Ukraine loess belt during past 130 000 years. *Quaternary International*, 56, p. 349-356.

Sitlivyj, V., Ryzov, S. 1992. The late Middle Palaeolithic of Malyj Rakovets IV in Transcarpathia. *Archaeologisches Korrespondenzblatt*, 22, p. 301-314.



Turq, A. 1989. Approche technologique et economique du facies Mousterien de type Quina. *Société préhistorique française*, 86 (8), p. 244-256.

Turq, A. 2000. Le Moustérien de type Quina. *Paléo, supplément*, p. 310-343.

L. V. Kulakovska, N. P. Gerassimenko,  
V. I. Usik, O. L. Votiakova

## MIDDLE PALEOLITHIC SITE RUBAN' IN TRANSCARPATHIA: STRATIGRAPHY, CHRONOLOGY, INDUSTRY

The Ruban' Paleolithic site was discovered in 2005 by the Transcarpathian Paleolithic expedition of the Archaeological Museum of the IA NASU. The site is located on the territory of the former Zatysnansky chemical plant (Fig. 1b) at a distance of 800 m north of the eastern outskirts of the village of Gorbky, Vynohradiv district, in the Transcarpathian region, in the Ruban' tract, and about 2 km to the southeast of the Korolevo site.

At the time when the site Ruban' was discovered, the upper part the quarry wall where the site is located, has been ruined by the quarrying that made it impossible to determine a stratigraphic position of the archaeological layer and to establish the age of the culture. In order to solve these problems, 15 geological profiles of the Quaternary deposits have been set along the less disturbed quarry wall in 2016–2017. The stratigraphic subdivision of the sections, according to the Quaternary stratigraphic framework of Ukraine, and their correlation with the profile of the archaeological site have been carried out that enables to determine the geological age of the cultural layer.

The geological site Ruban' is located along the paleoslope and, thus, there are erosional brakes in its sedimentary record. The lowermost stratigraphical unit is represented by reddish-brown soil of Martonosha unit overlain by gleyed loam of Sula unit and strongly dissected by wedges of the Sula cryogenesis. The other Lower and Middle Pleistocene units have been truncated and now they are represented by pedosediments (with exception of the yellowish-brown soil of Upper Zavadivka unit).

Kaydaky unit (the brown forest soil of a warm interglacial climate) is separated from Zavadivka soil by the level of wedges of the Dnieper cryogenesis.

Pryluky unit is represented by two soils ( $pl_1$  and  $pl_3$ ), separated by cryogenic fissures and, in places, by a thin loess layer ( $pl_2$ ). The dark-brown soil  $pl_1$  is characterized by both manganese concretions and thick manganese films in its upper part, whereas the brown forest soil  $pl_3$  is overlain by a thin layer of dense iron-manganese concretions ( $pl_3c$ ). This layer reflects unstable hydrothermal regime during the transition from the warm interstadial to the cold stadial climate of the Uday time. Uday unit is represented, in places, by a thin loess layer, which is overlain by brown forest soil of Vytachiv unit. The latter is dissected by cryogenic fissures, filled with the non-soil material of Bug unit. The Holocene unit is truncated in many places but the Holocene pedogenic processes (translocation) overprint the underlying units.

The stratigraphic correlation of the studied sections with the archaeological site (excavation 1) demonstrates that the archaeological layer is located in the transitional bed of iron-manganese concretions ( $pl_3c$ ). According to the accepted comparison of the Ukrainian stratigraphy with marine isotopic-oxygen scale, the chronostratigraphic position of the archaeological layer corresponds to the transition from the end of the MIS 5 (5a) i. e. 74–64 ka BP.

In the industry of Ruban' site are prevailing the non-Levallois reduction methods of exploitation of Kombewa, centripetal, crossed and sub-crossed cores with a flat working surface. The parallel reduction system is not typical and random. Blades are practically absent.

In the collection of tool-kit dominated side scrapers, among which there is a series of natural backed side scrapers with a thick working edge, created by 2–3 rows of a stepped scaled retouch (Quina retouch type). Such samples can be attributed to a specific type of side scrapers, such as Quina or Semi-Quina (Fig. 7).

In general, the main technological and typological features of the Ruban' site industry are closely related to the cultural layer II of the Korolevo I site. These collections can be attributed to the local variant of the so-called Charantienne Techno-Complex.

**Keywords:** Ruban, Middle Paleolithic, stratigraphy, typology, type Quina.

Одержано 17.03.2018

**ВОТЯКОВА Оксана Леонідівна**, магістр історії, молодший науковий співробітник, Інститут археології НАН України, пр. Героїв Сталінграда 12, Київ, 04210, Україна, [oksana.votiakova@gmail.com](mailto:oksana.votiakova@gmail.com).

**ВОТЯКОВА Oksana**, Master of History, Junior researcher, Institute of Archaeology, National Academy of Sciences of Ukraine, Heroiv Stalingradu ave. 12, Kyiv, 04210, Ukraine, [oksana.votiakova@gmail.com](mailto:oksana.votiakova@gmail.com).

**ГЕРАСИМЕНКО Наталія Петрівна**, доктор географічних наук, професор, Київський національний університет ім. Тараса Шевченка, вул. Володимирська 60, Київ, 01033, Україна, [n.garnet2@gmail.com](mailto:n.garnet2@gmail.com).

**GERASSIMENKO Natalia**, Doctor of Geographical Sciences, Professor Taras Shevchenko Kyiv National University, Volodymyrska str., 60, Kyiv, 01033, Ukraine, [n.garnet2@gmail.com](mailto:n.garnet2@gmail.com).

**КУЛАКОВСЬКА Лариса Віталіївна**, кандидат історичних наук, завідувач відділу, Інститут археології НАН України, пр. Героїв Сталінграда 12, Київ, 04210, Україна, [larissa.kulakovska@gmail.com](mailto:larissa.kulakovska@gmail.com).

**KULAKOVSKA Larissa**, Candidate of Historical Sciences, Head of the Department, Institute of Archaeology, National Academy of Sciences of Ukraine, Heroiv Stalingradu ave. 12, Kyiv, 04210, Ukraine, [larissa.kulakovska@gmail.com](mailto:larissa.kulakovska@gmail.com).

**УСИК Віталій Іванович**, кандидат історичних наук, старший науковий співробітник Інститут археології НАН України, пр. Героїв Сталінграда 12, Київ, 04210, Україна, [vitaly.i.usik@gmail.com](mailto:vitaly.i.usik@gmail.com).

**USIK Vitaly**, Candidate of Historical Sciences, Senior Researcher, Institute of Archaeology, National Academy of Sciences of Ukraine, Heroiv Stalingradu ave. 12, Kyiv, 04210, Ukraine, [vitaly.i.usik@gmail.com](mailto:vitaly.i.usik@gmail.com).